

УДК 621.924.6:621.833

**А.А. РЫЖКИН, А.А. АНДРОСОВ, Г.П. ГРЕБЕНЮК,  
М.В. САВЕНКОВ, В.В. ВЯЛЯЯ**

## **ОПРЕДЕЛЕНИЕ КООРДИНАТ БОКОВЫХ СТОРОН ЗУБЬЕВ КОЛЕС С ЭЛЛИПТИЧЕСКИМ ПРОФИЛЕМ**

*В статье представлены результаты теоретического определения координат боковых сторон зуба колеса, имеющего в нормальном сечении эллиптический профиль; получены уравнения связи угловых и линейных размеров зубьев в торцевом и нормальном сечениях. Предложенная методика применима для нахождения координат профиля, описанного любой плоской кривой второго порядка.*

**Ключевые слова:** зубчатые колеса, эллиптический профиль, червячные зуборезные фрезы, геометрия зуба колеса с эллиптическим профилем.

**Введение.** Надежность изделий машиностроения, имеющих в структуре зубчатые передачи как преобразующие или силовые звенья, в значительной мере определяется несущей способностью этих передач. Как известно, удалось частично решить проблему увеличения несущей способности зубчатых передач путем создания пространственных зацеплений с точечным контактом (зацепление М.Л. Новикова) [2, 5] и получить при этом существенное увеличение передаваемой мощности (крутящего момента) при одновременном снижении габаритов передачи.

Разработанная на кафедре «Основы конструирования машин» ДГТУ передача с эллиптическим профилем в нормальном к зубу сечении [1] решает проблему несущей способности силовых зубчатых передач и характеризуется тем, что в торцевом сечении колеса ножка и головка зуба очерчены дугами одной окружности, а полная высота зуба равна диаметру этой окружности.

Внедрению новой передачи будет способствовать решение вопросов, связанных с разработкой точных и производительных зуборезных инструментов, к числу которых следует отнести и червячные фрезы.

Независимо от формы боковой стороны зуба неэвольвентного зубчатого колеса как фасонного валика с регулярно чередующимися зубьями известно несколько методов определения профиля зуба червячной фрезы как обкаточного инструмента реечного типа [2-5], однако, для их применения при проектировании фрез необходимо, в качестве исходных данных, иметь уравнения боковых сторон зуба.

Для решения комплексной задачи профилирования червячных фрез для нарезания колес с эллиптическим профилем предварительно определим геометрию зуба этих колес в торцевом и нормальном сечениях.

В торцевом сечении зубья колеса (рис.1,а) очерчены дугами окружности, диаметр которой  $2r$ ; участок зуба  $A_1 - B_1 - C_1$  - выпуклый,  $C_1 - D_1$  - вогнутый, причем точка  $C_1$  является точкой касания окружностей;  $R_g$  - радиус делительной окружности;  $R_{0_1}$  - радиус точки  $C_1$  касания смежных окружностей;  $\alpha'$  - угловой шаг зубьев колеса в торцевой плоскости.

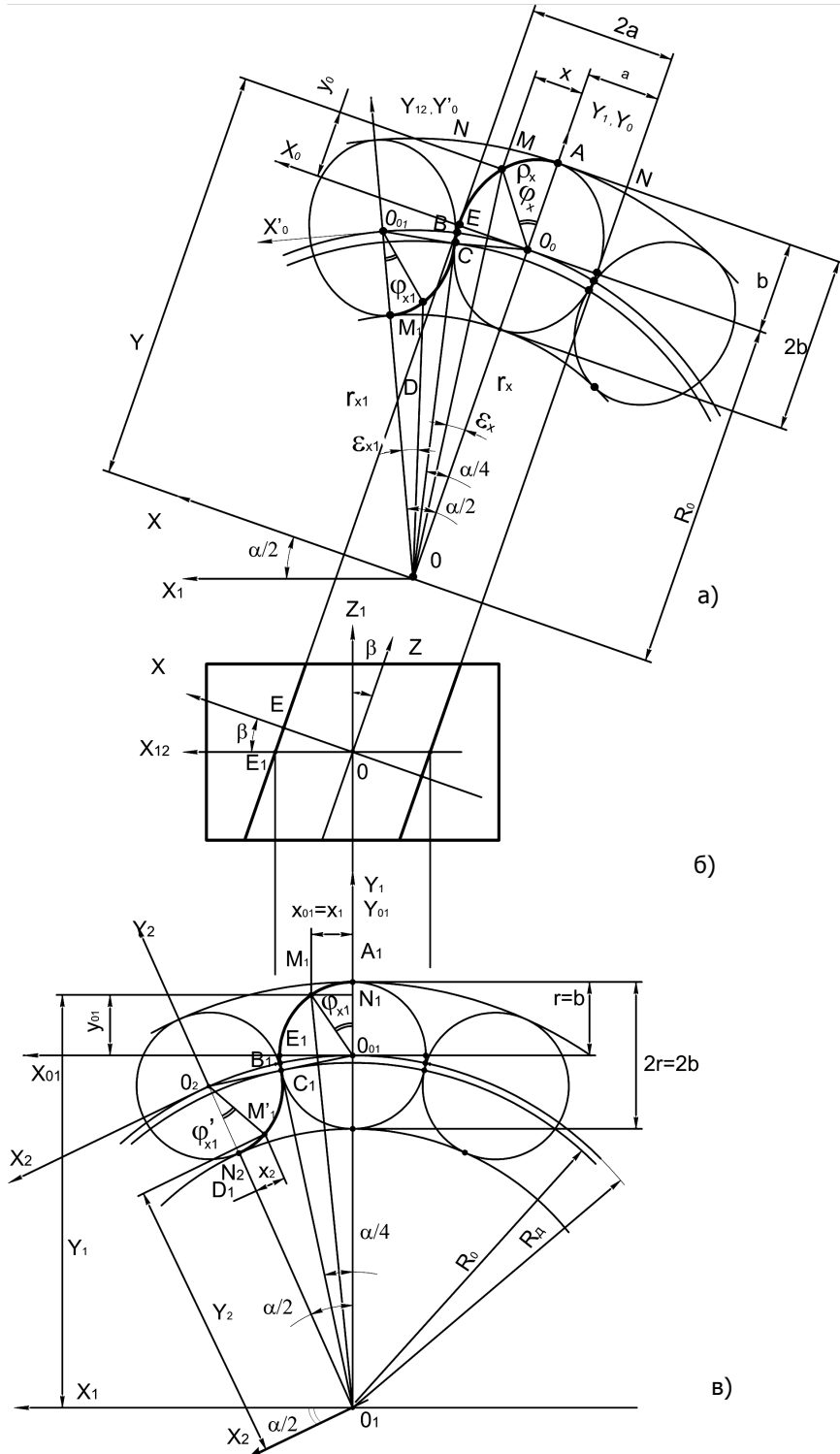


Рис.1. Профили зубьев неэвольвентного колеса: а – торцевое сечение (радиусный профиль); б, в – нормальное сечение (эллиптический профиль)

Координаты текущей точки  $M_1$  участка выпуклого профиля  $A_1 - B_1 - C_1$  в системе  $x_{0_1}o_{0_1}y_{0_1}$ , с началом в центре зуба, определяем по уравнению [6]

$$x_{0_1}^2 + y_{0_1}^2 = r^2, \quad (1)$$

в системе  $o_1x_1y_1$ , с началом в центре колеса  $O_1$  – зависимостью

$$x_1^2 = (y_1 - R_g)^2 = r^2, \quad (2)$$

а в полярных координатах ( $\Delta O_1M_1N_1$  и  $O_{0_1}M_1N_1$ , рис.1,а) – уравнениями:

$$\begin{aligned} x_{0_1} &= r \sin \varphi_{x_1} \\ y_{0_1} &= r \cos \varphi_{x_1} \end{aligned} \quad (3)$$

$$\begin{aligned} x_1 &= \pm r \sin \varphi_{x_1} \\ y_1 &= R_{gx} + r \cos \varphi_{x_1}. \end{aligned} \quad (4)$$

$$Z_1 = 0$$

Очевидно (см.рис.1,а), что  $x_1 = x_{0_1}$ .

*Примечание:* в выражении (4) при координате  $x_1$  следует принимать знак плюс для левой стороны профиля, а для правой стороны – минус.

При изменении полярного угла  $\varphi_{x_1}$  от 0 до  $\varphi_{x_1} = \varphi_{c_1}$  абсцисса  $x_1$  изменяется от 0 до  $x_{c_1}$ , а ордината  $y_1$  от  $(R_g + r)$  до  $y_{c_1}$ . Предельное значение полярного угла  $\varphi_{c_1}$  равно

$$\varphi_{x_c} = \arccos \frac{R_{0_1} - (R_g^2 + r^2)}{2R_g r}. \quad (5)$$

Входящий в (5) радиус  $R_{0_1}$  точки  $C_1$  касания окружностей определяется по найденной нами зависимости:

$$R_{0_1} = \sqrt{(R_g^2 + r^2) - 2R_g r \operatorname{tg} \alpha} / 4. \quad (6)$$

В итоге для определения координат точек профиля дугового зуба на участке  $A_1 - B_1 - C_1$  используем зависимости (4) – (6).

Для вогнутого профиля кругового зуба  $C_1 - D_1$  (см.рис.1,а) уравнение профиля в системе  $x_2o_2y_2$  имеет вид:

$$\begin{aligned} x_2 &= r \sin \varphi_{x_1}, \\ y_2 &= R_g - r \cos \varphi_{x_1}, \\ 0 &\varphi_{x_1} \varphi_{x_{c_1}}. \end{aligned} \quad (7)$$

Уравнение (7) в координатах  $x_1o_1y_1$ , с учетом связи между координатами текущей точки  $M_1$  (см.рис.1,а) в системах  $x_1o_1y_1$  и  $x_2o_2y_2$ , имеет вид:

$$\begin{aligned} x_1 &= \mp r \sin \varphi_{x_1} \cos \frac{\alpha'}{2} + (R_g - r \cos \varphi_{x_1}) \sin \frac{\alpha'}{2}; \\ y_2 &= r \sin \varphi_{x_1} \sin \frac{\alpha'}{2} + (R_g - r \cos \varphi_{x_1}) \cos \frac{\alpha'}{2}; \end{aligned} \quad (8)$$

$$z_2 = 0;$$

$$\text{где } \varphi_{x_{1c}} = \arccos \frac{(R_g^2 + r^2) - R_{0_1}^2}{2R_g r} . \quad (9)$$

**Размеры зубьев колеса в нормальном сечении (эллиптический профиль).** Для нахождения профиля инструментальной рейки как основы конструкции червячной фрезы необходимо знать угловые и линейные параметры зуба в нормальном сечении (см.рис.1,б,в). Как уже отмечалось выше, особенностью предложенной передачи является радиусный профиль в нормальном сечении (см.рис.1,а) и наличие винтового зуба, угол наклона которого к оси равен  $\beta$  (см.рис.1,б). По этой причине зуб в нормальном сечении будет иметь эллиптический профиль, при этом по ординате  $oy$  высота зуба равна исходной, т.е.  $2b = 2r, R_g = R_{g_1}$ , а углы  $\frac{\alpha}{2}, \frac{\alpha}{4}, \frac{\alpha'}{2}$  и  $\frac{\alpha'}{4}$  не одинаковы; радиус точки  $C$  касания эллипсов  $R_0$  (см.рис.1,в) в общем случае не равен радиусу  $R_{0_1}$ ; при этом изменятся и полярные углы  $\varepsilon_x, \varepsilon_{x_1}, \varphi_x$  и  $\varphi_{x_1}$ .

Найдем связь между этими параметрами, для чего сделаем дополнительное построение (рис. 2), имея в виду, что в торцевом сечении задаются высота зуба  $h = 2r \sin 2\beta$ , число зубьев колеса  $z$ , делительный диаметр (радиус)  $D_g (R_g)$ ; угловой шаг зубьев  $\alpha' = \frac{360^\circ}{z}$ , а также связанные с ними размеры  $\frac{\alpha'}{2} = \frac{180^\circ}{z}$  и  $\frac{\alpha'}{4} = \frac{90^\circ}{z}$ . Толщина зуба в нормальном сечении  $2a < 2r \sin 2\beta$ , и ее величина находится по зависимости  $a \cos \beta$  (см.рис.1,б). Таким образом, в нормальном сечении зуб имеет эллиптический профиль, а ножка и головка образованы разными участками эллипса с полуосями  $b$  и  $b \cos \beta$  (см.рис.1,в).

Совместим на плоскость торцевое и нормальное сечения зуба (рис.2) и найдем связь между угловыми и линейными параметрами этих сечений в полярной системе, начало которой совпадает с осью колеса. Здесь  $M_1$  и  $M$  - текущие точки на профилях зубьев в торцевом и нормальном сечениях;  $r_{x_1}$  и  $r_x$  - их радиусы-векторы,  $\varepsilon_{x_1}$  и  $\varepsilon_x$  - полярные углы в системе координат с началом в центре колеса;  $\varphi_{x_1}$  и  $\varphi_x$  - то же, но в системе с началом в центре окружности и эллипса соответственно.

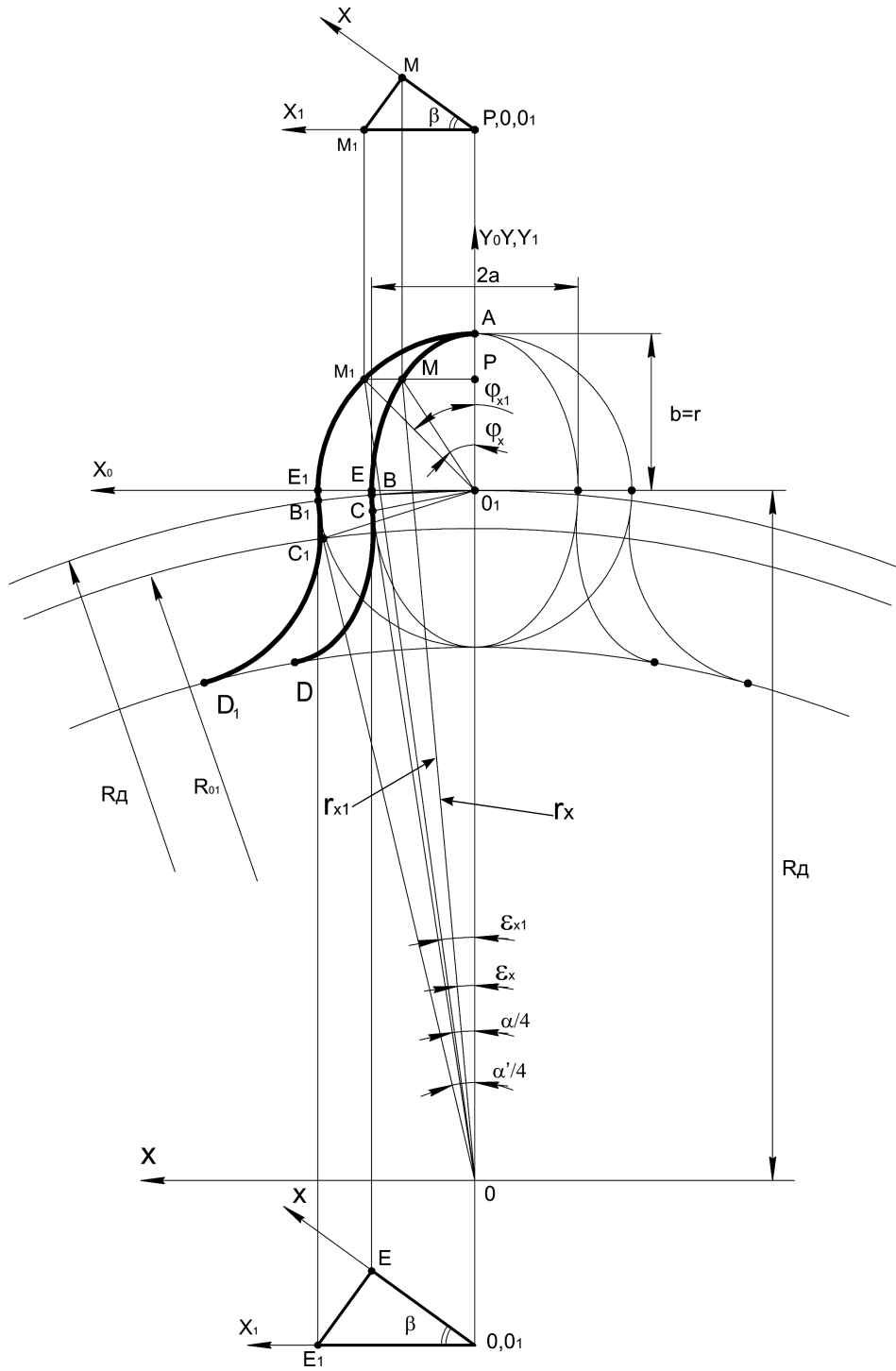


Рис.2. Связь угловых и линейных размеров зуба в различных сечениях

Из треугольников  $O_1M_1P$  и  $O_1MP$  и трехгранников  $M_1MPO$  и  $O_1E_1EO$  получим:

$$\operatorname{tg} \varphi_x = \operatorname{tg} \varphi_{x_1} \cos \beta ; \quad (10)$$

$$\operatorname{tg} \varepsilon_x = \operatorname{tg} \varepsilon'_x \cos \beta ; \quad (11)$$

$$\operatorname{tg} \frac{\alpha}{4} = \operatorname{tg} \frac{\alpha'}{4} \cos \beta . \quad (12)$$

Касание эллипсов, как и окружностей (см.рис.1,а), осуществляется не по делительному диаметру  $R_g$ , а по радиусу  $R_0$   $R_g$ , причем величина этого смещения зависит от соотношения размеров полуосей эллипса, т.е. от соотношения между толщиной зуба и шириной впадины, а также от числа зубьев и габаритных размеров зубчатого колеса.

Радиус  $R_0$  точки касания  $C$  эллипсов находится по формуле:

$$R_0 = \sqrt{\frac{v \cos^2 \beta \operatorname{ctg} \frac{\alpha}{4}}{\sqrt{1 + \cos^2 \beta \operatorname{ctg} \frac{\alpha}{4}}}} + R_g - \sqrt{\frac{1}{1 + \cos^2 \beta \operatorname{ctg} \frac{\alpha}{4}}} . \quad (13)$$

**Уравнения профиля эллиптического зуба (нормальное сечение).**

Для выпуклой части профиля  $A - B - C$  уравнения эллипса в декартовой и полярной системах координат с началом в центре эллипса имеют вид (см.рис.1,в):

$$\frac{x_0^2}{a^2} + \frac{y_0^2}{b^2} = 1 ; \quad (14)$$

$$x_0 = \rho_x \sin \varphi_x ; \quad (15)$$

$$y_0 = \rho_x \cos \varphi_x ,$$

а в координатах  $xOy$ , связанных с центром колеса,

$$\begin{aligned} x &= x_0 = \rho_x \sin \varphi_x , \\ y &= y_0 + R_g = R_g + \rho_x \cos \varphi_x . \end{aligned} \quad (16)$$

Из (14) и (15) получаем:

$$\frac{\rho_x^2 \sin^2 \varphi_x}{a^2} + \frac{\rho_x^2 \cos^2 \varphi_x}{b^2} = 1 ,$$

откуда 
$$\rho_x = \sqrt{\frac{a^2 b^2}{a^2 \cos^2 \varphi_x + b^2 \sin^2 \varphi_x}} . \quad (17)$$

С другой стороны, положение точки  $M$  на боковой стороне эллиптического зуба определяется полярными углом  $\varepsilon_x$  и радиусом - вектором  $r_x$  :

$$\begin{aligned} x &= r_x \sin \varepsilon_x , \\ y &= r_x \cos \varepsilon_x . \end{aligned} \quad (18)$$

Из (16), (17) и (18) получаем:

$$\begin{aligned}
 x &= R_g + \cos \beta \cos \varphi_x \sqrt{\frac{1}{\sin^2 \varphi_x + \cos^2 \varphi_x \cos^2 \beta}} \varepsilon_x \\
 y &= R_g + \cos \beta \cos \varphi_x \sqrt{\frac{1}{\sin^2 \varphi_x + \cos^2 \varphi_x \cos^2 \beta}} \cdot \quad (19) \\
 0 \varepsilon_x &\frac{\alpha}{4}; \quad 0 \varphi_x \varphi_{xc}
 \end{aligned}$$

Предельное значение полярного угла  $\varphi_{x_c} = \varphi_{x_{\max}}$  в (19), и связь между полярными углами  $\varepsilon_x$  и  $\varphi_x$  находим из зависимостей (17) и (18):

$$\operatorname{tg} \varepsilon_x = \frac{\sin \varphi_x}{\frac{R_g}{\varepsilon} \sqrt{\cos^2 \varphi_x + \frac{\sin^2 \varphi_x}{\cos^2 \beta}} + \cos \varphi_x} \quad (20)$$

$$\varphi_{\max} = 180^\circ - \operatorname{arctg} \frac{R_0 \sin \frac{\alpha}{4}}{R_g - R_0 \cos \frac{\alpha}{4}} \quad (21)$$

Для вогнутого участка профиля  $C - D$  эллиптического зуба уравнения профиля запишем, как и в предыдущем случае, в системах  $x'_0 o'_0 y'_0$  и  $x_{12} o_{12} y_{12}$ , а затем поворотом осей на угол  $\frac{\alpha}{2}$  перейдем к системе  $xoy$  (рис.1,в):

$$\frac{(x'_0)^2}{a^2} + \frac{(y'_0)^2}{b^2} = 1 \text{ - в координатах } x'_0 o'_0 y'_0; \quad (22)$$

$$\begin{aligned}
 x'_0 &= -\rho_{x_1} \sin \varphi_{x_1} \\
 y'_0 &= \rho_{x_1} \cos \varphi_{x_1}
 \end{aligned}$$

- в полярных координатах с полюсом  
в центре эллипса; (23)

$$\begin{aligned}
 x_{12} &= -r_{x_1} \sin \varepsilon_{x_1} \\
 y_{12} &= r_{x_1} \cos \varepsilon_{x_1} \\
 y_{12} &= R_g - \rho_{x_1} \cos \varphi_{x_1}
 \end{aligned}$$

- в полярных координатах  
с полюсом в центре колес. (24)

Из (22) и (23) получим:

$$\rho_{x_1} = \sqrt{\frac{a^2 b^2}{a^2 \cos^2 \varphi_{x_1} + b^2 \sin^2 \varphi_{x_1}}} \quad (25)$$

Так как  $R_g - \rho_{x_1} \cos \varphi_{x_1} = r_{x_1} \cos \varepsilon_{x_1}$ , то

$$r_{x_1} = \frac{R_g - \rho_{x_1} \cos \varphi_{x_1}}{\cos \varepsilon_{x_1}} \quad (26)$$

После подстановки (25) в (26) получим:

$$r_{x_1} = \frac{R_g - \cos \varphi_{x_1} \sqrt{\frac{a^2 b^2}{a^2 \cos^2 \varphi_{x_1} + b^2 \sin^2 \varphi_{x_1}}}}{\cos \varepsilon_{x_1}}, \quad (27)$$

а из (26) и (27) найдем уравнения профиля  $C - D$  в координатах  $x_{12}Oy_{12}$ :

$$\begin{aligned} x_{12} &= - R_g - \cos \varphi_{x_1} \sqrt{\frac{a^2 b^2}{a^2 \cos^2 \varphi_{x_1} + b^2 \sin^2 \varphi_{x_1}}} \operatorname{tg} \varepsilon_{x_1}; \\ y_{12} &= R_g - \cos \varphi_{x_1} \sqrt{\frac{a^2 b^2}{a^2 \cos^2 \varphi_{x_1} + b^2 \sin^2 \varphi_{x_1}}}. \end{aligned} \quad (28)$$

Уравнения участка профиля  $C - D$  в системе  $xOy$  получим, используя формулы перехода:

$$\begin{aligned} x &= -x_{12} \cos \frac{\alpha}{2} + y_{12} \sin \frac{\alpha}{2} \\ y &= x_{12} \sin \frac{\alpha}{2} + y_{12} \cos \frac{\alpha}{2}. \end{aligned} \quad (29)$$

В результате из (28) и (29) получим, имея ввиду, что  $a \varepsilon = \cos \beta$ :

$$\begin{aligned} x &= R_g - \cos \beta \cos \varphi_{x_1} \sqrt{\frac{1}{\sin^2 \varphi_{x_1} + \cos^2 \beta \cos^2 \varphi_{x_1}}} \operatorname{tg} \varepsilon_{x_1} \cos \frac{\alpha}{2} + \\ &+ R_g - \cos \beta \cos \varphi_{x_1} \sqrt{\frac{1}{\sin^2 \varphi_{x_1} + \cos^2 \beta \cos^2 \varphi_{x_1}}} \sin \frac{\alpha}{2}; \\ y &= - R_g - \cos \beta \cos \varphi_{x_1} \sqrt{\frac{1}{\sin^2 \varphi_{x_1} + \cos^2 \beta \cos^2 \varphi_{x_1}}} \operatorname{tg} \varepsilon_{x_1} \sin \frac{\alpha}{2} + \\ &+ R_g - \cos \beta \cos \varphi_{x_1} \sqrt{\frac{1}{\sin^2 \varphi_{x_1} + \cos^2 \beta \cos^2 \varphi_{x_1}}} \cos \frac{\alpha}{2}. \end{aligned} \quad (30)$$

В (30)  $0 \leq \varepsilon_{x_1} \leq \frac{\alpha}{4}$ ;  $0 \leq \varphi_{x_1} \leq \varphi_{x_1 \max}$ .

Связь между углами  $\varphi_{x_1}$  и  $\varepsilon_{x_1}$ , а также предельное значение полярного угла  $\varphi_{1 \max}$  находим по соотношениям:

$$\operatorname{tg} \varepsilon_{x_1} = \frac{\sin \varphi_{x_1}}{\frac{R_g}{b} \sqrt{\cos^2 \varphi_{x_1} + \frac{\sin^2 \varphi_{x_1}}{\cos^2 \beta}} - \cos \varphi_{x_1}}; \quad (31)$$

$$\varphi_{1 \max} = \operatorname{arctg} \frac{R_0 \sin \frac{\alpha}{4}}{R_g - R_0 \cos \frac{\alpha}{4}}. \quad (32)$$

Для удобства выполнения дальнейших расчетов по определению профиля инструментальной рейки эллиптический зуб (см.рис.1,в) делительным диаметром условно разделим на выпуклую и вогнутую части (рис.3) (фактически это будут элементы исходного контура изделия).

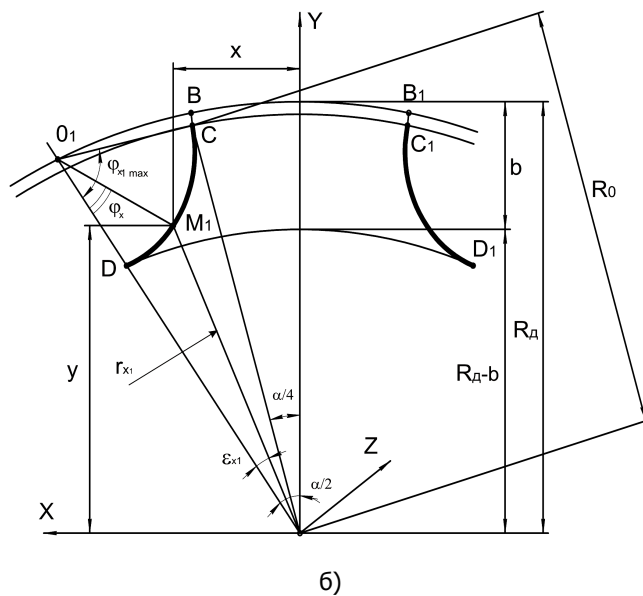
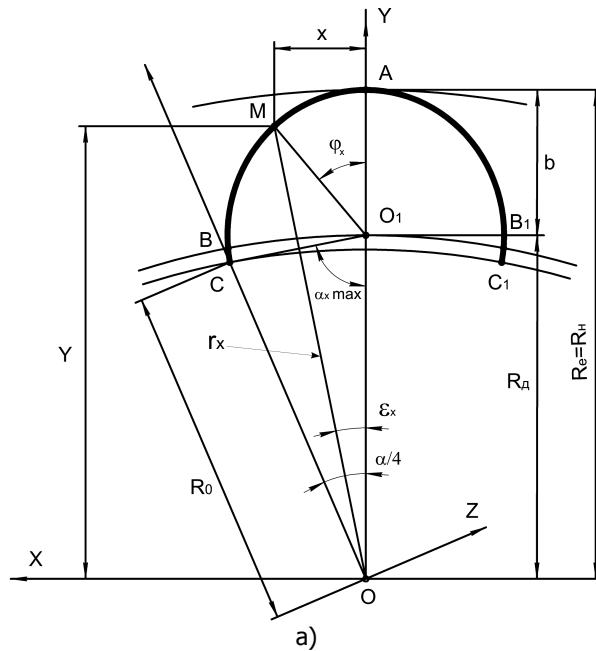


Рис.3. Выпуклый (а) и вогнутый (б) профили эллиптического зуба  
**Выпуклый профиль зуба**  
 а) левая сторона (A – B – C).

Для расчета координат профиля зуба на этом участке необходимо последовательно использовать зависимости (13), (20), (21) и (19);

б) правая сторона ( $A_1 - B_1 - C_1$ ).

В зависимости (19) координата  $x$  будет имеет знак минус; остальные формулы (13), (20), (21) применимы для зоны  $A - B_1 - C_1$  без изменений.

*Вогнутый профиль зуба*

а) для левой стороны зуба (участок ( $C - D$ )) используем зависимости (30) – (32);

б) правая сторона профиля зуба ( $C_1 - D_1$ ).

В зависимости (30) координату  $x$  необходимо принять со знаком «минус», а радиус точки касания  $C$  вычислять по (13); другие формулы (30)-(32) используются без их корректировок.

*Пример.* Найти уравнения профиля эллиптического зуба (нормальном сечении) при известных размерах в торцевом сечении (см.рис.1,а):  $D_{\text{мм}} 76,0$  ;  $r ; = 8, \text{мм} \neq 6,2$  ;  $D_g = D_e - 2r_{\text{мм}} 63,6$  ;  $g_{\text{мм}} 1,8$  ; угол наклона винтового зуба  $\beta = 18^\circ$  ; угловой торцевой шаг  $\alpha' = \frac{360^\circ}{z} = \frac{360^\circ}{8} = 45^\circ$  ;  $\frac{\alpha'}{2} = 22^\circ 30'$  и  $\frac{\alpha'}{4} = 11^\circ 15'$ .

Необходимые для расчетов координат профиля эллиптического зуба величины углов  $\frac{\alpha}{2}$  и  $\frac{\alpha}{4}$  (нормальное сечение) находятся по зависимостям (12):  $tg \frac{\alpha}{2} = tg \frac{\alpha'}{2} \cos \beta$  и  $tg \frac{\alpha}{4} = tg \frac{\alpha'}{4} \cos \beta$ , откуда при  $\beta = 18^\circ$   $\frac{\alpha}{2} = 21^\circ 24'$ , а  $\frac{\alpha}{4} = 10^\circ 42'$ . При этих параметрах радиус точки касания эллипсов ( $R_{\text{мм}} 31,50$ ) рассчитывали по зависимости (13).

Задавая полярные углы  $\varphi_x$  от  $O$  до  $\varphi_{\max}$ , по алгоритму (13), (19), (20), (21), (30)-(32) находили координаты точек профилей  $A - B - C$  и  $C - D$  (см.таблицу, рис.4)

Размеры профиля эллиптического зуба

Выпуклый профиль ( $A - B - C$ )					Вогнутый профиль ( $C - D$ )				
№ n/n	$\varphi_x^0$	$\varepsilon_x^0$	X	Y	№ n/n	$\varphi_{x1}^0$	$\varepsilon_{x1}^0$	X	Y
1	0	0	0	38	1	0	0	9,34	23,84
2	10	1,6	1,08	37,9	2	10	2,4	8,38	24,32
3	20	3,2	2,12	37,6	3	20	4,6	7,53	24,98
4	30	4,7	3,06	37,10	4	30	6,6	6,83	25,79
5	40	0,1	3,90	36,45	5	40	8,2	6,28	26,70
6	50	7,36	4,60	35,67	6	50	8,37	5,9	27,69
7	60	8,45	5,17	34,72	7	60	10,17	5,7	28,72
8	70	9,35	5,57	33,8	8	70	10,6	5,68	29,75
9	80	10,05	5,82	32,82	9	78,75	10,7	5,70	30,6
10	90	10,5	5,89	31,8					
11	101,25	10,7	5,70	30,6					

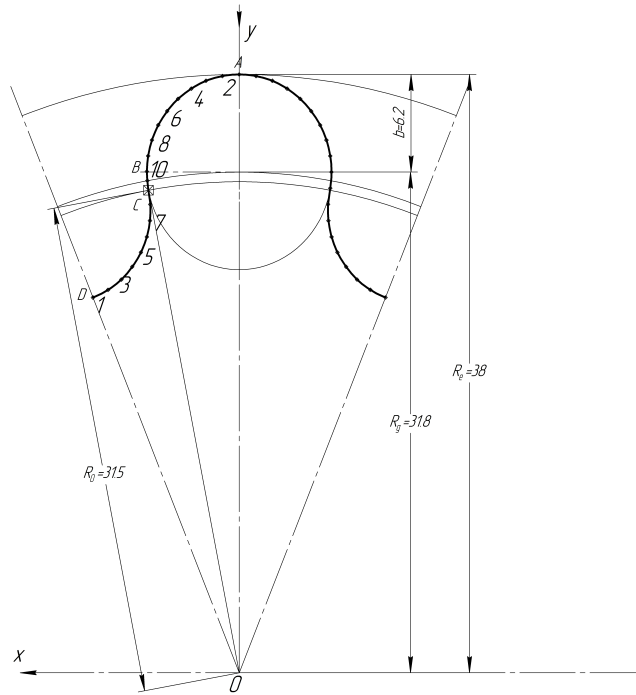


Рис.4. Теоретический профиль эллиптического зуба:

$$R_e = 38 \text{ мм}; R_g = 31,8 \text{ мм}; b = 6,2 \text{ мм}; z = 8; \beta = 18^\circ; \frac{\alpha}{2} = 21^\circ 24'$$

#### Выводы:

1. Установлена связь между линейными и угловыми размерами зуба колеса в торцевом (задаются чертежом) и нормальном сечениях.
2. Для расчета координат профиля эллиптического зуба колеса найдены аналитические зависимости, адекватность которых подтверждена контрольными расчетами для шестерни масляного насоса.

#### Библиографический список

1. Зубчатые передачи: пат. № 2057267. Российская Федерация / Г.П. Гребенюк; зарег. от 27.03.96. – Оpubл. в Б.И., 1999. – № 9.
2. Дихтярь Ф.С. Червячные фрезы для зубчатых передач с зацеплением М.Л. Новикова / Ф.С. Дихтярь // Вестник машиностроения. – 1959. – №9. – С.8-13.
3. Семенченко И.И. Режущий инструмент / И.И. Семенченко. – М.: Машгиз, 1944. – Т. III. – 440 с.
4. Рыжкин А.А. Режущий инструмент: учеб. пособие. / А.А. Рыжкин, В.С.Дмитриев, В.С.Каганов. – Ростов н/Д: Издательский центр ДГТУ, 2000. – 310 с.
5. Грубин А.Н. Зуборезный инструмент / А.Н. Грубин, М.Б.Лихциер, М.С.Полоцкий. – М.: Машгиз, 1946. – Ч.II.
6. Иноземцев Г.Г. Профилирование червячных фрез для передач Новикова / Г.Г. Иноземцев, Е.П.Сергиенко. – Саратов: Приволж. книжное изд-во, 1968. – 143 с.

7. Бронштейн И.Н. Справочник по математике / И.Н. Бронштейн, К.А.Семендяев. – М.: Физматгиз, 1962. – 608 с.

Материал поступил в редакцию 12.03.09.

**A.A. RYZHKIN, A.A. ANDROSOV, G.P. GREBENJUK,  
M.V. SAVENKOV, V.V. VYALAYA**

### **DETERMINATION OF COORDINATES OF COG'S SIDES OF THE GEARS WITH ELLIPTIC PROFILE**

Results of theoretical definition of coordinates of a cog side having in normal cross-section the elliptic profile are presented. Equations connecting angular and linear dimensions of cogs in face and normal cross-sections are obtained. The offered technique is usable for a determination of coordinates of the profile circumscribed by any plane curve of the second order.

**РЫЖКИН Анатолий Андреевич** (р.1938), заведующий кафедрой «Инструментальное производство» ДГТУ, доктор технических наук (1985), профессор (1986). Окончил РИСХМ (1960) по специальности «Технология машиностроения, металлорежущие станки и инструменты».

Область научных интересов – повышение работоспособности режущих инструментов управлением термодиссипативными процессами в зоне резания. Автор 355 научных работ, в том числе 8 монографий, 5 авторских свидетельств и патентов.

**АНДРОСОВ Анатолий Александрович** (р. 1938), заведующий кафедрой «Основы конструирования машин» ДГТУ, доцент, кандидат технических наук (1981). Окончил Оренбургский сельскохозяйственный институт (1962). Область научных интересов – прочность и надежность машин и механизмов.

Автор более 80 научных статей и 7 авторских свидетельств и патентов.

**ГРЕБЕНЮК Геннадий Петрович** (р.1939), ведущий инженер кафедры «Основы конструирования машин» ДГТУ. Окончил Луганский машиностроительный институт (1967).

Область научных интересов – прочность и долговечность деталей машин. Автор 3 научных статей и 5 авторских свидетельств и патентов

**САВЕНКОВ Михаил Васильевич** (р.1946), заведующий кафедрой «Графика и начертательная геометрия», доцент (1980), кандидат технических наук (1978). Окончил РИСХМ (1969).

Автор более 100 статей и 2 авторских свидетельств на изобретения.

Область научных интересов – работоспособность приводов машин.

**ВЯЛАЯ Валерия Владимировна**, студентка 5-го курса факультета «Технология машиностроения» ДГТУ специальности «Инструментальные системы машиностроительных производств».

aryzhkin@dstu.edu.ru

aandrosow@dstu.edu.ru